

## Dimensi Metrik Graf Buckminsterfullerene-Subdivisi dan Buckminsterfullerene-Star

Lyra Yulianti\*, Laila Hidayati , Des Welyyanti

Program Studi S1 Matematika,

Departemen Matematika dan Sains Data, FMIPA, Universitas Andalas,

Kampus UNAND Limau Manis Padang, Indonesia

e-mail: lyra@sci.unand.ac.id, laila.hdyt3@gmail.com, wely@sci.unand.ac.id

Diajukan: 29 Desember 2022, Diperbaiki: 11 April 2023, Diterima: 13 Juli 2023

### Abstrak

Misalkan terdapat graf *Buckminsterfullerene*  $B_{60}$  dengan 60 titik. Graf *Buckminsterfullerene-subdivisi*, dinotasikan  $B_{60,n}$ ,  $n \geq 1$ , dikonstruksi dengan cara melakukan operasi subdivisi terhadap satu sisi tertentu di  $B_{60}$ , yaitu penyisipan sebanyak  $n$  titik di sisi tersebut. Selanjutnya, Graf *Buckminsterfullerene-star*, dinotasikan  $B_{60}5S_n$ ,  $n \geq 1$ , dikonstruksi dengan cara mengidentifikasi masing-masing satu titik daun dari lima graf bintang  $S_n$  dengan titik yang bersesuaian di  $B_{60}$ . Pada artikel ini akan ditentukan dimensi metrik dari  $B_{60,n}$  dan  $B_{60}5S_n$  untuk  $n \geq 1$ .

**Kata Kunci:** Dimensi metrik, himpunan pembeda, *Buckminsterfullerene-subdivisi*, *Buckminsterfullerene-star*.

### Abstract

Let  $B_{60}$  be the *Buckminsterfullerene* graph on 60 vertices. The *Buckminsterfullerene-subdivision*, denoted by  $B_{60,n}$ ,  $n \geq 1$ , is constructed by subdividing one particular edge of  $B_{60}$  into  $n+1$  edges. Moreover, *Buckminsterfullerene-star*, denoted by  $B_{60}5S_n$ ,  $n \geq 1$ , is constructed by identifying one leaf from five stars  $S_n$  with the corresponding vertex of  $B_{60}$ . This paper will discuss the metric dimension of *Buckminsterfullerene-subdivision* and *Buckminsterfullerene-star* graphs.

**Keywords:** Metric dimension, resolving set, *Buckminsterfullerene-subdivision*, *Buckminsterfullerene-star*.

## 1 Pendahuluan

Konsep dimensi metrik pada suatu graf diperkenalkan secara terpisah oleh Slater [1] dan Harary dan Melter [2]. Selanjutnya, Chartrand dkk. [3] memberikan definisi baku dimensi metrik dari suatu graf terhubung  $G$  sebagai berikut. Misalkan terdapat graf terhubung  $G = (V, E)$ , dan misalkan terdapat himpunan terurut  $W = \{w_1, w_2, \dots, w_k\} \subseteq V(G)$ . Representasi titik  $v \in V(G)$  terhadap  $W$ , dinotasikan  $r(v|W)$ , didefinisikan sebagai  $k$ -vektor

$$r(v|W) = (d(v, w_1), d(v, w_2), \dots, d(v, w_k)).$$

Jika untuk setiap dua titik  $u$  dan  $v$  di  $G$  diperoleh bahwa  $r(u|W) \neq r(v|W)$  maka  $W$  dinamakan himpunan pembeda dari  $G$ . Himpunan pembeda dengan kardinalitas minimum disebut sebagai himpunan pembeda minimum, sementara nilai kardinalitas minimum tersebut dinamakan dimensi

metrik dari  $G$ , dinotasikan  $\dim(G)$ . Definisi dan notasi lainnya yang digunakan mengacu ke Diestel [4].

Berikut diberikan beberapa hasil terkait penentuan dimensi metrik dari suatu graf yang merupakan hasil operasi terhadap graf lain yang telah diketahui dimensi metriknya. Pada [5], Saputro dkk. memperoleh dimensi metrik graf hasil kali *lexicographic* dari beberapa graf tertentu. Selanjutnya, pada [6] diberikan batas atas dan batas bawah dimensi metrik graf hasil amalgamasi beberapa graf terhubung sebarang. Putra dkk. [7] menentukan dimensi metrik dari graf hasil operasi join antara graf roda dan siklus, dinotasikan  $W_n + C_n$  untuk  $n \in \{3,4\}$ .

Pada [8] diperoleh dimensi metrik graf hasil operasi amalgamasi graf tangga segitiga diperumum homogen. Hasil pada [8] diperumum oleh Yulianti dkk. [9] dengan menentukan dimensi metrik amalgamasi graf tangga segitiga diperumum sebarang, dinamakan graf *triangle-net*. Selanjutnya, pada [10] diberikan hasil terkait dimensi metrik graf amalgamasi graf lengkap  $Amal(nK_m)$  untuk  $n \geq 4$  dan  $m \geq 4$ . Yulianti dkk. [11] memberikan dimensi metrik graf hasil operasi *thorn* dan *thorn*-subdivisi terhadap graf lengkap  $K_n$  untuk  $n \geq 1$ . Kemudian pada [12] diberikan dimensi metrik graf hasil subdivisi terhadap graf Lobster, dengan cara menyisipkan  $m$  titik di setiap sisi graf tersebut, dinotasikan  $R_n(q,r)_m$  untuk  $n, q, r, m \geq 2$ .

Andova dkk. [13] membahas tentang graf *fullerene*, yang merupakan representasi dari molekul *fullerene*, suatu molekul *polyhedral* yang terbuat dari atom karbon. Selanjutnya, Akhter dkk. [14] memperoleh dimensi metrik dari graf *(3,6)-fullerene* dan *(4,6)-fullerene*, dimana graf *(k,6)-fullerene* adalah graf *fullerene* dengan semua *face* yang berbentuk  $k$ -gon dan hexagon, untuk  $k=3,4,5$ . Graf *Buckminsterfullerene*  $B_{60}$  yang didefinisikan oleh Kroto dkk. [15] adalah salah satu jenis graf *(5,6)-fullerene* dengan bentuk paling simetris. Putri dkk. [16] memperoleh bahwa dimensi metrik graf  $B_{60}$  adalah 3. Amalia dkk. [17] menentukan dimensi metrik graf *Buckminsterfullerene-type*  $B_{60}(1,t)$  untuk  $1 \leq t \leq 5$ . Graf tersebut dikonstruksi dengan mengidentifikasi lima titik terluar dari graf  $B_{60}$  dengan lima titik yang bersesuaian di lima salinan graf  $B_{60}$ . Selanjutnya, Yulianti dkk. [18] menentukan dimensi metrik dari graf *Buckminsterfullerene-net*, yaitu graf yang berasal dari amalgamasi titik terhadap  $m$  salinan graf  $B_{60}$  untuk  $m \geq 2$ . Pada artikel ini akan ditentukan dimensi metrik dari dua graf hasil modifikasi terhadap graf *Buckminsterfullerene*  $B_{60}$ , yaitu graf *Buckminsterfullerene-subdivisi* dan graf *Buckminsterfullerene-star*.

Misalkan terdapat graf *Buckminsterfullerene*  $B_{60}$  dengan himpunan titik dan himpunan sisi yang didefinisikan oleh Putri dkk. [16] sebagai berikut.

$$V(B_{60}) = \{v_i, z_i | 1 \leq i \leq 5\} \cup \{w_j, y_j | 1 \leq j \leq 15\} \cup \{x_k | 1 \leq k \leq 20\}, \quad (1)$$

$$E(B_{60}) = \{v_l v_{l+1}, z_l z_{l+1} | 1 \leq l \leq 4\} \cup \{w_m w_{m+1}, y_m y_{m+1} | 1 \leq m \leq 14\} \quad (2)$$

$$\begin{aligned}
& \cup \{x_n x_{n+1} | 1 \leq n \leq 19\} \cup \{w_{3l} x_{4l+1}, x_{4l} y_{3l+1}, y_{3l} z_{l+1} | 1 \leq l \leq 4\} \\
& \cup \{v_i w_{3i-2}, w_{3i-1} x_{4i-2}, x_{4i-1} y_{3i-1} | 1 \leq i \leq 5\} \\
& \cup \{w_{15} x_1, x_{20} y_1, y_{15} z_1, v_1 v_5, z_1 z_5, w_1 w_{15}, y_1 y_{15}, x_1 x_{20}\}.
\end{aligned}$$

Pada artikel ini graf *Buckminsterfullerene-subdivisi*, dinotasikan  $B_{60,n}$  untuk  $n \geq 1$ , diperoleh dengan melakukan operasi subdivisi terhadap sisi  $e = v_4 v_5$ , yaitu dengan menyisipkan sebanyak  $n$  titik ke sisi tersebut. Maka diperoleh:

$$\begin{aligned}
V(B_{60,n}) &= \{v_i, z_i | 1 \leq i \leq 5\} \cup \{w_j, y_j | 1 \leq j \leq 15\} \cup \{x_k | 1 \leq k \leq 20\} \\
&\cup \{v_{4,t} | 1 \leq t \leq n\},
\end{aligned} \tag{3}$$

$$\begin{aligned}
E(B_{60,n}) &= \{v_l v_{l+1}, z_l z_{l+1} | 1 \leq l \leq 4\} \cup \{w_m w_{m+1}, y_m y_{m+1} | 1 \leq m \leq 14\} \\
&\cup \{x_k x_{k+1} | 1 \leq k \leq 19\} \cup \{w_{3l} x_{4l+1}, x_{4l} y_{3l+1}, y_{3l} z_{l+1} | 1 \leq l \leq 4\} \\
&\cup \{v_i w_{3i-2}, w_{3i-1} x_{4i-2}, x_{4i-1} y_{3i-1} | 1 \leq i \leq 5\} \\
&\cup \{v_1 v_5, z_1 z_5, w_1 w_{15}, y_1 y_{15}, x_1 x_{20}, w_{15} x_1, x_{20} y_1, y_{15} z_1\} \\
&\cup \{v_{4,s} v_{4,s+1} | 1 \leq s \leq n-1\} \cup \{v_4 v_{4,1}, v_{4,n} v_5\}.
\end{aligned} \tag{4}$$

Selanjutnya, misalkan terdapat graf *Buckminsterfullerene*  $B_{60}$  dengan himpunan titik dan himpunan sisi seperti pada persamaan (1) dan persamaan (2), serta gabungan lima graf bintang dengan  $n$  sisi yang homogen, dinotasikan  $5S_n$ ,  $n \geq 1$ , dengan:

$$V(5S_n) = v_{i,p} | 1 \leq i \leq 5; 0 \leq p \leq n,$$

$$E(5S_n) = \{v_{i,0} v_{i,q} | 1 \leq i \leq 5, 1 \leq q \leq n\}.$$

Graf *Buckminsterfullerene-star*, dinotasikan  $B_{60}5S_n$ ,  $n \geq 1$ , dikonstruksi dengan cara mengidentifikasi titik  $v_i$  di  $B_{60}$  dengan titik  $v_{i,n}$  untuk  $1 \leq i \leq 5$ . Tuliskan titik hasil identifikasi sebagai  $v_i$  untuk  $1 \leq i \leq 5$ . Maka diperoleh:

$$\begin{aligned}
V(B_{60}5S_n) &= \{v_i, z_i | 1 \leq i \leq 5\} \cup \{w_j, y_j | 1 \leq j \leq 15\} \cup \{x_k | 1 \leq k \leq 20\} \\
&\cup \{v_{i,r} | 1 \leq i \leq 5; 0 \leq r \leq n-1\},
\end{aligned} \tag{5}$$

$$\begin{aligned}
E(B_{60}5S_n) &= \{v_l v_{l+1}, z_l z_{l+1} | 1 \leq l \leq 4\} \cup \{w_m w_{m+1}, y_m y_{m+1} | 1 \leq m \leq 14\} \\
&\cup \{x_k x_{k+1} | 1 \leq k \leq 19\} \cup \{w_{3l} x_{4l+1}, x_{4l} y_{3l+1}, y_{3l} z_{l+1} | 1 \leq l \leq 4\} \\
&\cup \{v_i w_{3i-2}, w_{3i-1} x_{4i-2}, x_{4i-1} y_{3i-1} | 1 \leq i \leq 5\} \\
&\cup \{v_1 v_5, z_1 z_5, w_1 w_{15}, y_1 y_{15}, x_1 x_{20}, w_{15} x_1, x_{20} y_1, y_{15} z_1\} \\
&\cup \{v_i v_{i,0} | 1 \leq i \leq 5\} \cup \{v_{i,0} v_{i,q} | 1 \leq i \leq 5, 1 \leq q \leq n\}.
\end{aligned} \tag{6}$$

## 2 Metode Penelitian

Penentuan dimensi metrik graf *Buckminsterfullerene-subdivisi*  $B_{60,n}$  dan graf *Buckminsterfullerene-star*  $B_{60}5S_n$  untuk  $n \geq 1$  dilakukan dengan cara sebagai berikut. Dituliskan

$\dim(G) \leq k$  untuk  $G = B_{60,n}$  atau  $G = B_{60}5S_n$  dan suatu bilangan bulat  $k$ , jika dapat ditentukan suatu himpunan pembeda  $W$  dengan  $|W| = k$  sedemikian sehingga sebarang dua titik  $u$  dan  $v$  di  $G$  mempunyai representasi yang berbeda. Selanjutnya, dituliskan  $\dim(G) \geq k$  jika untuk setiap kemungkinan himpunan  $W^*$  dengan  $|W^*| = k - 1$ , selalu terdapat minimal dua titik dengan representasi yang sama.

### **3 Hasil dan Pembahasan**

Pada bagian ini diberikan dimensi metrik graf *Buckminsterfullerene*-subdivisi  $B_{60,n}$  dan graf *Buckminsterfullerene*-star  $B_{60}S_n$  untuk  $n \geq 1$ .

**Teorema 1** Misalkan terdapat graf Buckminsterfullerene-subdivisi  $B_{60,n}$  dengan  $n \geq 1$ . Maka  $\dim(B_{60,n}) = 3$ .

## Bukti.

Misalkan terdapat graf *Buckminsterfullerene-subdivisi*  $B_{60,n}$  dengan himpunan titik dan sisi pada persamaan (3) dan persamaan (4). Definisikan suatu himpunan pembeda:

$$W = \begin{cases} \left\{ x_{13}, z_5, v_{4, \frac{n+1}{2}} \right\}, & \text{untuk } n \text{ ganjil,} \\ \left\{ x_{13}, z_5, v_{4, \frac{n}{2}} \right\}, & \text{untuk } n \text{ genap.} \end{cases}$$

Perhatikan dua kasus berikut.

### Kasus 1.A $n$ ganjil.

Pilih  $W = \left\{x_{13}, z_5, v_{4, \frac{n+1}{2}}\right\}$ . Perhatikan dua subkasus berikut.

Kasus 1.A.1  $n = 1$ .

Pilih  $W_1 = \{x_{13}, z_5, v_{4,1}\}$ . Pada Tabel 1 diberikan representasi semua titik di  $B_{60,1}$  terhadap  $W_1$ .

Tabel 1. Representasi titik  $B_{60,1}$

Dapat dilihat dari Tabel 1 bahwa setiap dua titik di  $B_{60,1}$  mempunyai representasi yang berbeda terhadap  $W_1$ .

**Kasus 1.A.2**  $n$  ganjil,  $n \geq 3$ .

Pilih  $W_2 = \{x_{13}, z_5, v_{4, \frac{n+1}{2}}\}$ . Dari konstruksi graf  $B_{60,n}$  diketahui bahwa  $d(v_4, v_5) = n + 1$ , sehingga didapatkan  $d(v_4, v_{4, \frac{n+1}{2}}) = d(v_5, v_{4, \frac{n+1}{2}}) = \frac{n+1}{2}$  dan  $d(v_{4,1}, v_{4, \frac{n+1}{2}}) = \frac{n+1}{2} - 1 = \frac{n-1}{2}$ .

Dari persamaan (3), tuliskan:

$$V(B_{60,n}) = V(B_{60,1}) \cup \{v_{4,b} | 2 \leq b \leq n\}. \quad (7)$$

Selanjutnya, akan ditentukan representasi titik-titik di  $V(B_{60,n})$  untuk  $n$  ganjil,  $n \geq 3$ . Ambil sebarang titik di  $B_{60,n}$ , namakan titik  $u$ . Karena  $d(u, v_{4, \frac{n+1}{2}}) = d(u, v_{4,1}) + d(v_{4,1}, v_{4, \frac{n+1}{2}}) = d(u, v_{4,1}) + \frac{n-1}{2}$ , maka representasi titik di  $B_{60,1}$  pada persamaan (7) terhadap  $W_2$  akan berbeda dengan representasi titik yang bersesuaian terhadap  $W_1$  di Tabel 1.

Kemudian akan ditentukan representasi dari titik-titik di  $\{v_{4,p} | 2 \leq p \leq n\}$  pada persamaan (7). Misal terdapat dua titik  $v_{4,a}$  dan  $v_{4,b}$ , dengan  $2 \leq a, b \leq n$ . Perhatikan dua kondisi berikut.

- (a) Jika  $d(v_{4,a}, v_{4, \frac{n+1}{2}}) \neq d(v_{4,b}, v_{4, \frac{n+1}{2}})$  maka  $r(v_{4,a}|W_2) \neq r(v_{4,b}|W_2)$ .
- (b) Jika  $d(v_{4,a}, v_{4, \frac{n+1}{2}}) = d(v_{4,b}, v_{4, \frac{n+1}{2}})$  maka  $d(v_{4,a}, v_4) \neq d(v_{4,b}, v_4)$  atau  $d(v_{4,a}, v_5) \neq d(v_{4,b}, v_5)$ , sehingga diperoleh  $r(v_{4,a}|W_2) \neq r(v_{4,b}|W_2)$ .

**Kasus 1.B**  $n$  genap.

Pilih  $W_3 = \{x_{13}, z_5, v_{4, \frac{n}{2}}\}$ . Perhatikan dua subkasus berikut.

**Kasus 1.B.1**  $n = 2$ .

Pilih  $W_3 = \{x_{13}, z_5, v_{4,1}\}$ . Pada Tabel 2 diberikan representasi semua titik di  $B_{60,2}$  terhadap  $W_3$ .

Tabel 2. Representasi titik  $B_{60,2}$

Titik	Represen tasi								
$v_1$	(6,8,3)	$v_2$	(5,9,3)	$v_3$	(4,8,2)	$v_4$	(3,7,1)	$v_5$	(5,7,2)
$w_1$	(7,7,4)	$w_2$	(8,7,5)	$w_3$	(7,7,6)	$w_4$	(6,8,4)	$w_5$	(5,7,5)
$w_6$	(4,7,4)	$w_7$	(3,8,3)	$w_8$	(2,6,4)	$w_9$	(1,6,3)	$w_{10}$	(2,6,2)
$w_{11}$	(2,5,3)	$w_{12}$	(3,5,4)	$w_{13}$	(4,6,3)	$w_{14}$	(5,6,4)	$w_{15}$	(6,6,5)
$x_1$	(7,5,6)	$x_2$	(8,6,7)	$x_3$	(9,5,7)	$x_4$	(8,5,8)	$x_5$	(8,6,6)
$x_6$	(6,6,6)	$x_7$	(6,5,7)	$x_8$	(5,5,6)	$x_9$	(4,6,5)	$x_{10}$	(3,5,5)
$x_{11}$	(2,4,6)	$x_{12}$	(1,4,5)	$x_{13}$	(0,5,4)	$x_{14}$	(1,4,4)	$x_{15}$	(2,3,5)
$x_{16}$	(3,3,6)	$x_{17}$	(4,4,5)	$x_{18}$	(5,5,5)	$x_{19}$	(6,4,6)	$x_{20}$	(7,4,7)
$y_1$	(7,3,8)	$y_2$	(8,4,8)	$y_3$	(7,3,9)	$y_4$	(7,4,9)	$y_5$	(6,4,8)
$y_6$	(5,3,9)	$y_7$	(4,4,7)	$y_8$	(3,3,7)	$y_9$	(3,2,7)	$y_{10}$	(2,3,6)
$y_{11}$	(3,2,6)	$y_{12}$	(4,1,7)	$y_{13}$	(4,2,7)	$y_{14}$	(5,3,7)	$y_{15}$	(6,2,8)

Titik	Represen tasi	Titik	Represen tasi	Titik	Represen tasi	Titik	Represen tasi	Titik	Represen tasi
$z_1$	(6,1,9)	$z_2$	(6,2,10)	$z_3$	(5,2,9)	$z_4$	(4,1,8)	$z_5$	(5,0,8)
$v_{4,1}$	(4,8,0)	$v_{4,2}$	(5,8,1)						

Dapat dilihat dari Tabel 2 bahwa setiap dua titik di  $B_{60,2}$  mempunyai representasi yang berbeda terhadap  $W_3$ .

**Kasus 1.B.2**  $n$  genap,  $n \geq 4$ .

Pilih  $W_4 = \{x_{13}, z_5, v_{4,\frac{n}{2}}\}$ . Diketahui bahwa  $d(v_4, v_{4,\frac{n}{2}}) = \frac{n}{2}$ ,  $d(v_5, v_{4,\frac{n}{2}}) = \frac{n}{2} + 1$ , dan  $d(v_{4,1}, v_{4,\frac{n}{2}}) = \frac{n}{2} - 1 = \frac{n-2}{2}$ . Dari persamaan (3), tuliskan:

$$V(B_{60,n}) = V(B_{60,2}) \cup \{v_{4,r} | 3 \leq r \leq n\}. \quad (8)$$

Akan ditentukan representasi titik-titik di  $V(B_{60,n})$  untuk  $n$  genap,  $n \geq 4$ . Ambil sebarang titik di  $B_{60,n}$ , namakan titik  $u$ . Karena  $d(u, v_{4,\frac{n}{2}}) = d(u, v_{4,1}) + d(v_{4,1}, v_{4,\frac{n}{2}}) = d(u, v_{4,1}) + \frac{n-2}{2}$ , maka representasi titik di  $B_{60,2}$  pada persamaan (8) terhadap  $W_4$  akan berbeda dengan representasi titik yang bersesuaian terhadap  $W_3$  di Tabel 2.

Kemudian ditentukan representasi titik-titik di  $\{v_{4,r} | 3 \leq r \leq n\}$  pada persamaan (8). Misal terdapat dua titik  $v_{4,a}$  dan  $v_{4,b}$ , dengan  $3 \leq a, b \leq n$ . Perhatikan dua kondisi berikut.

- (a) Jika  $d(v_{4,a}, v_{4,\frac{n}{2}}) \neq d(v_{4,b}, v_{4,\frac{n}{2}})$  maka  $r(v_{4,a}|W_4) \neq r(v_{4,b}|W_4)$ .
- (b) Jika  $d(v_{4,a}, v_{4,\frac{n}{2}}) = d(v_{4,b}, v_{4,\frac{n}{2}})$  maka  $d(v_{4,a}, v_4) \neq d(v_{4,b}, v_4)$  atau  $d(v_{4,a}, v_5) \neq d(v_{4,b}, v_5)$ , sehingga diperoleh  $r(v_{4,a}|W_4) \neq r(v_{4,b}|W_4)$ .

Berdasarkan Kasus 1.A dan Kasus 1.B dapat dilihat bahwa setiap titik di graf  $B_{60,n}$  memiliki representasi yang berbeda. Diperoleh bahwa  $\dim(B_{60,n}) \leq 3$ .

Selanjutnya, akan ditunjukkan bahwa untuk sebarang himpunan  $W^*$  dengan  $|W^*| = 2$ , selalu terdapat minimal dua titik di  $B_{60,n}$  dengan representasi yang sama terhadap  $W^*$ . Pandang beberapa kasus berikut.

**Kasus 2.A**  $W_1^* = \{v_i, v_j | 1 \leq i, j \leq 5\}$ , atau  $W_1^* = \{z_i, z_j | 1 \leq i, j \leq 5\}$ , atau  $W_1^* = \{w_i, w_j | 1 \leq i, j \leq 15\}$ , atau  $W_1^* = \{y_i, y_j | 1 \leq i, j \leq 15\}$ , atau  $W_1^* = \{x_i, x_j | 1 \leq i, j \leq 20\}$ .

Tanpa mengurangi perumuman, misalkan  $W_1^* = \{v_i, v_j | 1 \leq i, j \leq 5\}$ , dengan  $j = (i+2) \bmod 5$ . Misalkan  $W_1^* = \{v_1, v_3\}$  maka  $r(w_3|W_1^*) = r(w_5|W_1^*) = (3,3)$ , sehingga  $W_1^*$  bukan himpunan pembeda. Untuk titik-titik lain pada Kasus 2.A, pembuktian dilakukan dengan cara serupa.

**Kasus 2.B**  $W_2^* = \{v_{4,i}, v_{4,j} | 1 \leq i, j \leq n\}$ .

Tanpa mengurangi perumuman, misalkan  $W_2^* = \{v_{4,1}, v_{4,n} \mid n \geq 2\}$ . Sebagai contoh, untuk  $n = 4$  misalkan  $W_2^* = \{v_{4,1}, v_{4,4}\}$ . Maka  $r(x_1|W_2^*) = r(x_2|W_2^*) = (8,5)$ , sehingga  $W_2^*$  bukan himpunan pembeda. Untuk titik-titik lain pada Kasus 2.B, pembuktian dilakukan dengan cara serupa.

**Kasus 2.C**  $W_3^* = \{v_i, v_{4,j} \mid 1 \leq i \leq 5; 1 \leq j \leq n\}$ , atau  $W_3^* = \{w_i, v_{4,j} \mid 1 \leq i \leq 15; 1 \leq j \leq n\}$ , atau  $W_3^* = \{x_i, v_{4,j} \mid 1 \leq i \leq 20; 1 \leq j \leq n\}$ , atau  $W_3^* = \{y_i, v_{4,j} \mid 1 \leq i \leq 15; 1 \leq j \leq n\}$ , atau  $W_3^* = \{z_i, v_{4,j} \mid 1 \leq i \leq 5; 1 \leq j \leq n\}$ .

Tanpa mengurangi perumuman, misalkan  $W_3^* = \{x_i, v_{4,j} \mid 1 \leq i \leq 20; 1 \leq j \leq n\}$ . Sebagai contoh, untuk  $n = 4$  misalkan  $W_3^* = \{x_{13}, v_{4,1}\}$ . Maka  $r(x_{11}|W_3^*) = r(y_{10}|W_3^*) = (2,6)$ , sehingga  $W_3^*$  bukan himpunan pembeda. Untuk titik-titik lain pada Kasus 2.C, pembuktian dilakukan dengan cara serupa.

**Kasus 2.D**  $W_4^* = \{v_i, z_i \mid 1 \leq i \leq 5\}$ , atau  $W_4^* = \{v_i, w_j \mid 1 \leq i \leq 5; 1 \leq j \leq 15\}$ , atau  $W_4^* = \{v_i, y_j \mid 1 \leq i \leq 5; 1 \leq j \leq 15\}$ , atau  $W_4^* = \{v_i, x_k \mid 1 \leq i \leq 5; 1 \leq k \leq 20\}$ , atau  $W_4^* = \{w_j, y_j \mid 1 \leq j \leq 15\}$ , atau  $W_4^* = \{w_j, z_i \mid 1 \leq i \leq 5; 1 \leq j \leq 15\}$ , atau  $W_4^* = \{w_j, x_k \mid 1 \leq j \leq 15; 1 \leq k \leq 20\}$ , atau  $W_4^* = \{y_j, z_i \mid 1 \leq i \leq 5; 1 \leq j \leq 15\}$ , atau  $W_4^* = \{z_i, x_k \mid 1 \leq i \leq 5; 1 \leq k \leq 20\}$ .

Tanpa mengurangi perumuman, misalkan  $W_4^* = \{z_i, x_k \mid 1 \leq i \leq 5; 1 \leq k \leq 20\}$ . Sebagai contoh, untuk  $n = 4$  misalkan  $W_4^* = \{z_5, x_{13}\}$ . Maka  $r(y_6|W_4^*) = r(y_{14}|W_4^*) = (4,5)$ , sehingga  $W_4^*$  bukan himpunan pembeda. Untuk titik-titik lain pada Kasus 2.D, pembuktian dilakukan dengan cara serupa.

Berdasarkan Kasus 2.A sampai Kasus 2.D dapat dilihat bahwa  $W_1^*$ ,  $W_2^*$ ,  $W_3^*$  dan  $W_4^*$  bukan merupakan himpunan pembeda, karena terdapat minimal dua titik yang mempunyai representasi yang sama. Karena itu, diperoleh bahwa  $\dim(B_{60,n}) \geq 3$ . ■

**Teorema 2** Misalkan terdapat graf Buckminsterfullerene-star  $B_{60}5S_n$  dengan  $n \geq 1$ . Maka:

$$\dim(B_{60}5S_n) = \begin{cases} 3, & n = 1,2, \\ 1 + 5(n - 2), & n \geq 3. \end{cases}$$

**Bukti.**

Misalkan terdapat graf Buckminsterfullerene-star  $B_{60}5S_n$  dengan himpunan titik dan himpunan sisi yang didefinisikan pada persamaan (5) dan persamaan (6). Perhatikan dua kasus berikut.

**Kasus 1.A**  $n = 1$  dan  $n = 2$ .

Tanpa mengurangi perumuman, misalkan  $n = 2$ . Karena  $B_{60} \subseteq B_{60}5S_2$ , maka dari [16] diperoleh bahwa  $\dim(B_{60}5S_n) \geq 3$ . Selanjutnya, definisikan suatu himpunan pembeda  $W_5 = \{x_{13}, z_5, v_1\}$ . Pada Tabel 3 diberikan representasi titik di  $B_{60}5S_2$ .

Tabel 3. Representasi titik  $B_{60}5S_2$ 

Titik	Represen tasi								
$v_1$	(5,8,0)	$v_2$	(5,9,1)	$v_3$	(4,8,2)	$v_4$	(3,7,2)	$v_5$	(4,7,1)
$w_1$	(7,7,1)	$w_2$	(8,7,2)	$w_3$	(7,7,3)	$w_4$	(6,8,2)	$w_5$	(5,7,3)
$w_6$	(4,7,4)	$w_7$	(3,8,3)	$w_8$	(2,6,4)	$w_9$	(1,6,4)	$w_{10}$	(2,6,3)
$w_{11}$	(2,5,4)	$w_{12}$	(3,5,3)	$w_{13}$	(4,6,2)	$w_{14}$	(5,6,3)	$w_{15}$	(6,6,2)
$x_1$	(7,5,3)	$x_2$	(8,6,3)	$x_3$	(9,5,4)	$x_4$	(8,5,8)	$x_5$	(8,6,4)
$x_6$	(6,6,5)	$x_7$	(6,5,5)	$x_8$	(5,5,6)	$x_9$	(4,6,5)	$x_{10}$	(3,5,5)
$x_{11}$	(2,4,7)	$x_{12}$	(1,4,6)	$x_{13}$	(0,5,5)	$x_{14}$	(1,4,5)	$x_{15}$	(2,3,6)
$x_{16}$	(3,3,5)	$x_{17}$	(4,4,4)	$x_{18}$	(5,5,4)	$x_{19}$	(6,4,5)	$x_{20}$	(7,4,4)
$y_1$	(7,3,5)	$y_2$	(8,4,5)	$y_3$	(7,3,6)	$y_4$	(7,4,6)	$y_5$	(6,4,8)
$y_6$	(5,3,7)	$y_7$	(4,4,7)	$y_8$	(3,3,8)	$y_9$	(3,2,8)	$y_{10}$	(2,3,7)
$y_{11}$	(3,2,7)	$y_{12}$	(4,1,8)	$y_{13}$	(4,2,7)	$y_{14}$	(5,3,6)	$y_{15}$	(6,2,6)
$z_1$	(6,1,7)	$z_2$	(6,2,7)	$z_3$	(5,2,8)	$z_4$	(4,1,9)	$z_5$	(5,0,8)
$v_{1,0}$	(6,9,1)	$v_{2,0}$	(6,10,2)	$v_{3,0}$	(5,9,3)	$v_{4,0}$	(4,8,3)	$v_{5,0}$	(5,8,2)
$v_{1,1}$	(7,10,2)	$v_{2,1}$	(7,11,3)	$v_{3,1}$	(6,10,4)	$v_{4,1}$	(5,9,4)	$v_{5,1}$	(6,9,3)

Dapat dilihat bahwa setiap titik di graf  $B_{60}5S_2$  memiliki representasi yang berbeda terhadap  $W_5$ , sehingga  $\dim(B_{60}5S_2) \leq 3$ .

### Kasus 1.B $n \geq 3$ .

Definisikan suatu himpunan pembeda  $W_6 = \{x_{13}, v_{i,m} | 1 \leq i \leq 5; 1 \leq m \leq n - 2\}$ . Misalkan terdapat titik  $a$  dan  $b$  di  $B_{60}5S_n$  untuk  $n \geq 3$ . Perhatikan beberapa kasus berikut.

#### Kasus 1.B.1 Misalkan $a \in V(B_{60})$ dan $b \in V(B_{60})$ .

Terdapat beberapa kondisi berikut.

- (a) Jika  $d(a, x_{13}) \neq d(b, x_{13})$  maka jelas  $r(a|W_6) \neq r(b|W_6)$ .
- (b) Jika  $d(a, x_{13}) = d(b, x_{13})$  maka terdapat suatu  $s$ ,  $1 \leq s \leq 5$  dan suatu  $t$ ,  $1 \leq t \leq n - 2$ , dengan  $i \neq s$  dan  $t \neq m$ , sehingga  $d(a, v_{s,t}) \neq d(b, v_{s,t})$ . Diperoleh bahwa  $r(a|W_6) \neq r(b|W_6)$ . Sebagai contoh,  $d(x_{15}, x_{13}) = d(x_{11}, x_{13}) = 2$  tetapi  $d(x_{15}, v_{4,1}) \neq d(x_{11}, v_{4,1})$ , sehingga  $r(x_{15}|W_6) \neq r(x_{11}|W_6)$ .

#### Kasus 1.B.2 Misalkan $a \in V(B_{60})$ dan $b \in V(5S_n)$ .

Karena  $d(a, v_{i,m}) = d(a, v_i) + d(v_i, v_{i,m})$  maka  $r(a|W_6) \neq r(b|W_6)$  untuk  $b = v_i$ , atau  $b = v_{i,m}$  untuk  $1 \leq i \leq 5$  dan  $1 \leq m \leq n - 2$ .

#### Kasus 1.B.3 Misalkan $a \in V(5S_n)$ dan $b \in V(5S_n)$ .

Terdapat beberapa kondisi berikut.

- (a) Jika  $a = v_i$  dan  $b = v_{i,m}$  maka  $d(a, v_{i,m}) = 1 \neq 0 = d(b, v_{i,m})$ , sehingga  $r(a|W_6) \neq r(b|W_6)$  untuk  $1 \leq i \leq 5$  dan  $1 \leq m \leq n - 2$ .
- (b) Jika  $a = v_t$  dan  $b = v_i$  maka  $d(a, v_{i,m}) = d(a, b) + d(b, v_{i,m})$ , sehingga  $r(a|W_6) \neq r(b|W_6)$  untuk  $1 \leq i, t \leq 5$  dan  $1 \leq m \leq n - 2$ .

- (c) Jika  $a = v_{t,s}$  dan  $b = v_{i,m}$  maka diperoleh  $d(a, v_{i,m}) = d(a, v_t) + d(v_t, v_i) + d(v_i, v_{i,m}) \neq 0 = d(b, v_{i,m})$ , sehingga  $r(a|W_6) \neq r(b|W_6)$  untuk  $1 \leq i, t \leq 5$  dan  $1 \leq m, s \leq n - 2$ .

Dari Kasus 1.B.1 sampai Kasus 1.B.3, diperoleh bahwa representasi setiap dua titik di  $B_{60}5S_n$  berbeda terhadap  $W_6$ . Dapat disimpulkan bahwa  $\dim(B_{60}5S_n) \leq 1 + 5(n - 2) = 5n - 9$  untuk  $n \geq 3$ .

Selanjutnya, akan ditunjukkan bahwa untuk sebarang himpunan  $W^*$  dengan  $|W^*| = 5(n - 2)$ , selalu terdapat minimal dua titik di  $B_{60}5S_n$  dengan representasi yang sama terhadap  $W^*$ . Pandang beberapa kasus berikut.

**Kasus 2.A** Tidak ada titik di  $B_{60}$  yang menjadi anggota  $W^*$ .

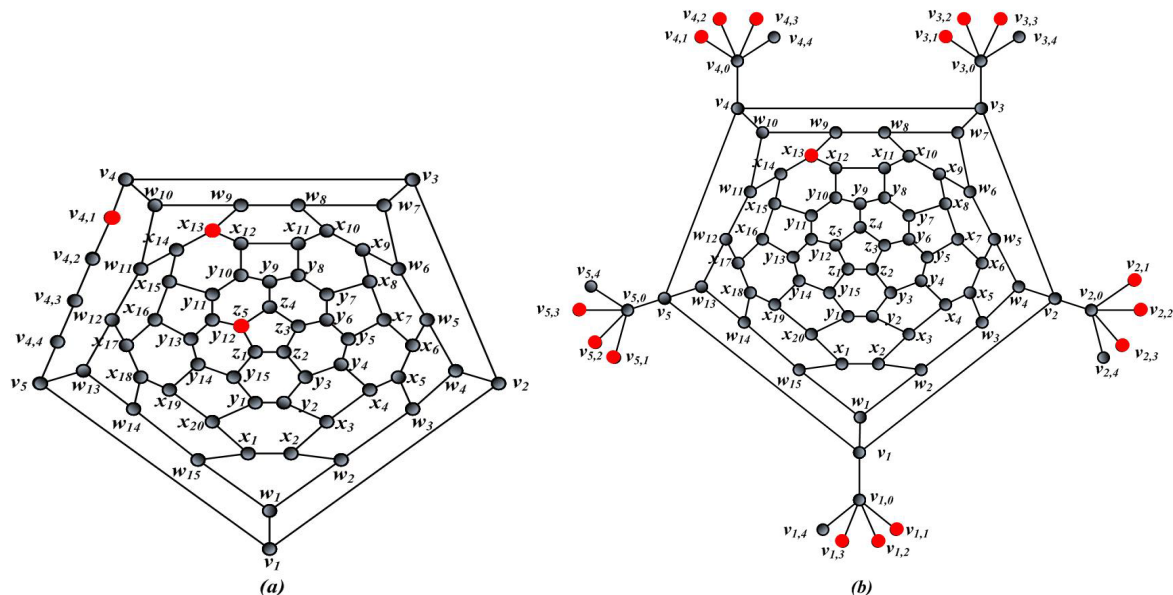
Tuliskan  $W_5^* = \{v_{i,m} \mid 1 \leq i \leq 5; 1 \leq m \leq n - 2\}$ . Maka terdapat titik  $w_9$  dan  $w_{11}$  sedemikian sehingga  $d(w_9, v_{i,m}) = d(w_{11}, v_{i,m})$  untuk  $1 \leq i \leq 5$  dan  $1 \leq m \leq n - 2$ . Diperoleh bahwa  $r(w_9|W_5^*) = r(w_{11}|W_5^*)$ .

**Kasus 2.B** Terdapat tepat satu titik di  $B_{60}$  dan  $5(n - 2) - 1$  titik di  $5S_n$  yang menjadi anggota  $W^*$ .

Tanpa mengurangi perumuman, misalkan  $W_6^* = \{x_{13}, v_{i,f} \mid 1 \leq i \leq 5; 1 \leq f \leq n - 3\}$ . Karena  $d(v_{i,n-1}, u) = d(v_{i,n-2}, u)$  untuk setiap titik  $u$  di  $W_6^*$ , maka jelas bahwa  $r(v_{i,n-1}|W_6^*) = r(v_{i,n-2}|W_6^*)$ .

Dari Kasus 2.A dan Kasus 2.B dapat dilihat bahwa  $W_5^*$  dan  $W_6^*$  bukan himpunan pembeda, karena terdapat minimal dua titik yang mempunyai representasi yang sama. Karena itu, diperoleh bahwa  $\dim(B_{60}5S_n) \geq 5(n - 2) + 1$ . ■

Pada Gambar 1 diberikan graf *Buckminsterfullerene-subdivisi*  $B_{60,4}$  dan graf *Buckminsterfullerene-star*  $B_{60}5S_5$ . Titik berwarna merah menyatakan anggota himpunan pembeda pada graf tersebut.



Gambar 1. (a)  $\dim(B_{60,n}) = 3$ , (b)  $\dim(B_{60}5S_5) = 16$

#### 4 Simpulan

Pada penelitian ini diperoleh bahwa dimensi metrik graf *Buckminsterfullerene*-subdivisi  $B_{60,n}$  adalah tiga, sementara dimensi metrik graf *Buckminsterfullerene*-star  $B_{60}5S_n$  adalah  $5(n - 2) + 1$  untuk  $n \geq 1$ .

#### 5 Daftar Pustaka

- [1] P. Slater, "Leaves of trees," *Congressus Numerantium*, vol. 14, pp. 549 - 559, 1975.
- [2] F. Harary and Melter, R.A, "On the metric dimension of a graph," *Ars Combin*, vol. 2, pp. 191 - 195, 1976.
- [3] G. Chartrand, L. Eroh, M. Johnson and O. Oellermann, "Resolvability in graphs and the metric dimension of a graph," *Discrete Applied Mathematics*, vol. 105, pp. 99 - 133, 2000.
- [4] R. Diestel, Graph Theory, New York: Springer-Verlag New York Inc., 2017.
- [5] S. Saputro, R. Simanjuntak, S. Uttunggadewa, H. Assiyatun, E. Baskoro, A. Salman and M. Baca, "The metric dimension of the lexicographic product of graphs," *Discrete Math*, vol. 313, no. 9, pp. 1045 - 1051, 2013.
- [6] R. Simanjuntak, S. Uttunggadewa and S. Saputro, "Metric Dimension of Amalgamation of Graphs," in *Lecture Notes on Computer Science (LNCS)*, New York, Springer, 2015, pp. 330 - 337.
- [7] R. Putra, L. Yulianti and S. Sy, "Dimensi Metrik dari Graf  $W_n + C_n$  untuk  $n \in \{3, 4\}$ ," *Jurnal Matematika UNAND*, vol. 7, no. 2, pp. 165 - 169, 2018.
- [8] F. Febrianti, L. Yulianti and N. Narwen, "Dimensi Metrik pada Graf Amalgamasi Tangga Segitiga Diperumum Homogen," *Jurnal Matematika UNAND*, vol. 7, no. 1, pp. 84 - 90, 2018.
- [9] L. Yulianti, A. Putri, B. Rudianto, Y. Yanita and D. Welyyanti, "On the metric dimension of the triangle-net graph," in *AIP Conference Proceeding*, 2022.
- [10] T. Utomo and N. Dewi, "Dimensi Metrik dari Graf  $Amal(nK_m)$ ," *Limits: Journal of Mathematics and Its Applications*, vol. '5, no. 1, pp. 71 - 77, 2018.
- [11] L. Yulianti, N. Narwen and S. Hariyani, "On The Subdivided Thorn Graph and Its Metric Dimension," *Indonesian Journal of Combinatorics*, vol. 3, no. 1, pp. 34 - 40, 2019.
- [12] R. Aditya, N. Narwen and D. Welyyanti, "Dimensi Metrik pada Graf  $Rn(q,r)m$ ," *Jurnal Matematika UNAND*, vol. 7, no. 1, pp. 260 - 267, 2018.

- [13] V. Andova, F. Kardos and R. Skrekovsi, "Fullerene Graphs and Some Relevant Graphs Invariant," in *Topics in Chemical Graph Theory, Mathematical Chemistry Monographs*, Kragujevac, University of Kragujevac and Faculty of Science, Kragujevac, 2014, p. 39 – 54.
- [14] S. Akhter and R. Farooq, "Metric Dimension of Fullerene Graphs," *Electronic Journal of Graph Theory and Applications*, vol. 7, no. 1, pp. 91 - 103, 2019.
- [15] H. Kroto, J. Heath, S. O'Brien, S. Curl and R. Smalley, "C<sub>60</sub>: Buckminsterfullerene," *Nature*, vol. 318, pp. 162 - 163, 1985.
- [16] A. Putri, L. Yulianti and D. Welyyanti, "Dimensi Metrik dari Graf Buckminsterfullerene," *Jurnal Matematika UNAND*, vol. 8, no. 4, pp. 91 - 100, 2019.
- [17] M. Amalia, D. Welyyanti and L. Yulianti, "On the metric dimension of Buckminsterfullerene-type graphs," *submitted*.
- [18] L. Yulianti, D. Welyyanti, Y. Yanita, M. Fajri and S. Saputro, "On the metric dimension of Buckminsterfullerene-net graphs," *submitted*.